

八戸工業大学(正)○鶴田 善雄
東北大学工学部(正)柳澤 栄司

1. はじめに 砂の様な粒状体の変形・破壊運動がその内部構造に大きく左右される事は周知の事実である。しかし、現在までに、初期異方性の応力・ひずみ等性に及ぼす影響を内部構造の変化より論じたものは存在しない様である。ここでは、コンタクト・テンソルを内部変数とするモデルを考え、初期異方性の応力・ひずみ関係に及ぼす影響について、一つの計算結果を示す。方向性をもたない粒子のみを対象とする。

2. 内部変数としてのコンタクトテンソルとすべり運動に基づく構成関係

種々提案されているスラリットテンソルのうち、コンタクトテンソルを内部変数として用いる¹⁾コンタクトテンソルは、微視的接触面の確率密度関数 $E(\theta)$ と定義される時、次式で、平面変形の場合、定義できる。(以下、平面変形の場合のみを考慮する。)

$$C_{ij} = C_0 \int_0^{2\pi} E(\theta) n_i n_j d\theta \quad (1)$$

但し、 C_0 : 平均的接触面積密度、 n_i : 微小領域の方向余弦である。このコンタクトテンソルを用いて、任意の方向余弦 ν 有する単位面積、単位厚さ当たりの平均的な接触面積ベクトル $S_i^{(\nu)}$ と、その接觸面が考へているビ面とはす角 ν^* は次の様に求められる。(図1参照)

$$S_i^{(\nu)} = C_{ij} \nu_j, \quad \nu^* = \cos^{-1}(S_1^{(\nu)} \nu_1 + S_2^{(\nu)} \nu_2) / \sqrt{(S_1^{(\nu)})^2 + (S_2^{(\nu)})^2} \quad (2)$$

任意のビ面上で(2)式により求められる平均的接触面積が、せん断力 T の作用する方向に対して、上向きに存在する時、これを正とする。 $(\nu^* > 0)$ この場合、ビ面上のせん断力 T と垂直力 N を、接觸面に沿って分割し、すべりうとする力 T と押さえる力 N を求めると、 $T/N < \tan \nu^*$ である事が理解できる。このため、 $\nu^* > 0$ の時、すべり運動は、平均的に生じにくく事成る。逆に、平均的接觸面が下向きにはる時、低い応力比でも、その面のすべり運動は生じ易い事が解る。(詳細は後)

いま、ダイレクタンシーと伴う簡単せん断変形を考え、この運動を、最大主応力軸に関して対称な2つの基準面を用いて定式化する。このモデルは Double Shearing Model と呼ばれている。最大主応力軸より $45^\circ - \frac{\nu}{2}$

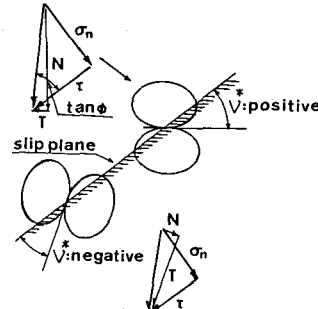


Fig.1 Definition of the angle of ν^*

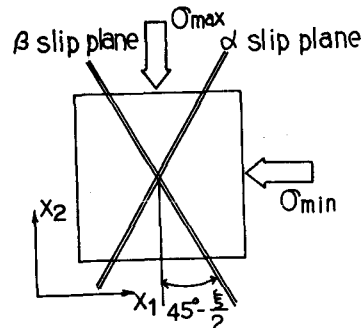


Fig.2 Double Shearing Model for Plane Deformation

をなす方向に2つのすべり運動の基準面が存在する時、変形速度 D_{ij}^p は、主応力軸を座標軸として、

$$\left. \begin{aligned} D_{11}^p &= -A \{ \cos(\xi - \nu_d) + \sin \nu_d \} (\gamma^{(d)} + \gamma^{(p)}) \\ D_{12}^p &= A \{ \sin(\xi - \nu_d) \} (\gamma^{(p)} - \gamma^{(d)}) \\ D_{22}^p &= A \{ \cos(\xi - \nu_d) - \sin \nu_d \} (\gamma^{(d)} + \gamma^{(p)}) \end{aligned} \right\} \quad (3)$$

但し $A = (1)/(2 \cos \nu_d)$, X_2 軸を最大主応力軸と一致させる。

ここで ν_d は、すべり面上でのダイレクタンシー α 度を表し、 $\tan \nu_d = -\dot{\gamma}/\gamma$ (γ はすべり面に垂直な膨張速度を表す。 $\dot{\gamma}$ は膨張の時を負とする)。実際に、すべりの条件を満足し滑動可能な粒子の平均的運動方向を示す ν_d は、粒子間の固有摩擦角 ϕ_μ とすべり面に作用する応力比 T/σ を用いて、次式により決定する。(stress-dilatancy 式)。初期異方性に、それ程左右されない事を考慮した $(\nu^* \neq \nu_d)$ は、一般に一致しない。

$$\left. \begin{aligned} \nu_d^{(d)} &= \phi_\mu - \phi^{(d)} \\ \phi^{(d)} &= \tan^{-1}(\tau^{(d)}/\sigma^{(d)}) ; \tau^{(d)} = \sigma_{ij}^{(d)} \nu_j^{(d)}, \sigma^{(d)} = \sigma_{ij} \nu_i^{(d)} \nu_j^{(d)} \end{aligned} \right\} \quad (4)$$

以下、考慮する応力状態は主応力状態にあるものとする。この時、注目すべき事は(3)式による変形速度成分は、一般には、主応力軸との共軸性を満足しない事である。さて一般に、応力主軸とコンタクトテンソルの主軸が一致しない時、最大主応力軸に関して方程式 λ_2 のすべり運動の基準面上の平均的接觸面積の方向は、 α, β すべり面上で異なり、その結果、前述の理由から、 $\gamma^{(1)}$ と $\gamma^{(2)}$ は異なると考えるのが妥当である。いま、すべり面上でのせん断ひずみ速度 $\dot{\gamma}^{(1)}, \dot{\gamma}^{(2)}$ を共通に、すべり面と平均的接觸面積のなす角 ν^* 粒子間の固有摩擦角 ϕ_{fr} 及び、すべり面に作用する応力比 $C^{(1)}/C^{(2)} (= \tan \phi_{fr})$ を用いて、次の様な双曲線型の関係式を規定する。

$$\begin{aligned} \dot{\gamma}(\alpha) &= \left\{ \alpha / (1 - b \eta(\alpha))^2 \right\} \dot{\gamma}(\alpha) \\ \text{ここで, } \eta^{(1)} &= \tan \phi^{(1)} / \tan \phi_{fr}^{(1)} (\phi^{(1)} \geq \phi_{fr}^{(1)}) \\ \eta^{(2)} &= \tan \phi^{(2)} / \tan (\phi_{fr} + \nu^*)^{(2)} (\phi^{(2)} < \phi_{fr}^{(2)}) \end{aligned} \quad (5)$$

但し、 $\tan \phi_{fr}^{(1)}$ は、最初に $\tan \phi \geq \tan (\phi_{fr} + \nu^*)$ を満足した時の値とする。 $(\nu^* < 0)$ 時、速かにこの条件を満足され、大まかにせん断ひずみ速度が発生する。)

3. コンタクトテンソルの移行則と構造変化による変形速度

直接にコンタクトテンソルの移行則は与えず、Oda²⁾の観察に基づいて、接觸面積の増加が、最大主応力軸方向で θ_2 と最も大きく、以下、最大主応力軸より θ_2 は θ_1 方向では減少し θ_1 で増加するものとする。 θ_2 軸は最大主応力軸と一致させ、又増加する程度は、その方向の接觸面積ベクトルの法線成分(C_{22}, C_{11} 等)に反比例するものとし、且つ接觸面積の増加を $\theta_2 = 0.032\theta_1$ で与えると、 $\dot{\theta}_2 + \dot{\theta}_1 = 0$ の平均主応力一定の条件の許で、次の様に計算できる。

$$\begin{aligned} \dot{C}_{22} &= \frac{\theta_2}{(C_{22})} \frac{\pi}{4} \dot{\theta}_2 \\ \dot{C}_{11} &= \frac{\theta_2}{(C_{11})} \left[\frac{3}{4}\pi - 2 \right] \dot{\theta}_1 \end{aligned} \quad (6)$$

この様な構造変化により、粒状体の内部構造が変化し、粒子間力の配分が生じ、ひずみ硬化を示す事になる。但し(6)式による構造変化は、すべり面が平均的Kのすべりの条件を満足する場合(すなわち、 T/μ が $\tan \phi_{fr}$ を基しくなる時)には、構造変化は(7)式を常に満足する様にさすものとする。(8)式

$$\sigma_2 / \sigma_1 = K_\mu (C_{22} / C_{11}), K_\mu = (1 + \tan \phi_{fr}) / (1 - \tan \phi_{fr}) \quad (7)$$

$$C_{11} = \frac{1}{C_{22}} \left[\dot{C}_{22} C_{11} - \frac{(C_{11})^2}{K_\mu} (\sigma_1 \dot{\theta}_2 - \dot{\sigma}_1 \theta_2) / (\sigma_1 \theta_1) \right] \quad (8)$$

ここで、 \dot{C}_{22} は(6)式より求めめる。

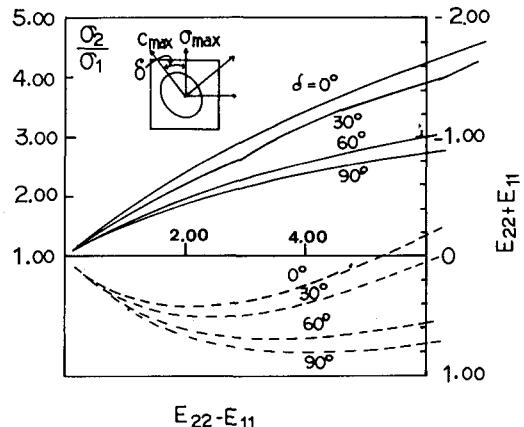


Fig.3 Calculation result on the effect of inherent anisotropy on deformation characteristics

構造変化による変形速度成分 D_{ij}^* は、等方性の弹性関係式に異方性を加味した次式を与える。

$$\begin{Bmatrix} D_{11}^* \\ D_{22}^* \end{Bmatrix} = \frac{1}{E} \begin{Bmatrix} 1, -\nu \\ -\nu, 1 \end{Bmatrix} \begin{Bmatrix} \dot{\theta}_1 / C_{11} \\ \dot{\theta}_2 / C_{22} \end{Bmatrix} \quad (9)$$

(9)式において、Eと ν はひずみ履歴の影響を受け変化するものと考えられるが、この計算では一定とした。 (9) 式は、くり返し載荷時の除荷時の体積圧縮率を表現する事ができるが、構成関係としては不充分なものであり、更なる考察が必要である。

4. 計算例

コンタクトテンソルの主値 ϵ , $C_{max} = 1.2$, $C_{min} = 1.0$ と正規化して、コンタクトテンソルの最大主軸と最大主応力軸のなす角 θ で $0^\circ, 30^\circ, 60^\circ, 90^\circ$ の場合について計算を行った。すべり面は最大主応力軸より 30° の方向に設定した。用いたパラメータは $a = 0.01$, $b = 0.5$ (5)式, $\phi_{fr} = 26^\circ$, $E = 9 \times 10^4$ (kPa), $V = 0.5$ ((6)式), $(\theta_2 + \theta_1)/2 = 200$ (kPa), 平均主応力一定の場合である。その結果を図3に示す。但し図3では、 D_{12}^* の存在は無視している。図3より初期異方性により、応力・ひずみ特性が大きく異なる事が示されている。

5. あとがき ここで述べた定式化は、既往の実験結果とは矛盾しないが、(5)式～(9)式の定式化は、初期異方性の応力・ひずみ特性に及ぼす影響を示す定式化の一つであり、唯一のものではない。

1) 齋田・柳澤(1985) 第20回工質力学研究発表会名古屋

2) Oda(1972): Soils & Found Vol. 12 No. 2 pp 1~18.